

九州電力(株) 機械研究所 正員 木村公哉 高田 真
而日本技術開発(株)工木節 正員○山下伸二

1. まえがき

近年盤に築造されていきるフィルタイトガムの安定解析に不可欠なロット材の強度係数は、大型直角ヤン断試験や大型三軸圧縮試験などにより求められていくのが普通である。

しかし、純素の大型直角せん断試験は、その機構上もつ欠点である。1)せん断箱の側面摩擦がはたりにくくと、上下の圧力やせん断应力が一様に分布せず、そのためせん断面の両端附近から局部的な破壊が起り、いわゆる進行性破壊の現象を生ずる、2)せん断面が平面に限られるので、強制せん断を行なうことになり、供試体のもっとも弱い部分で破壊するという自由が与えられない、などの条件で測定されていうから、理論的な面で理想の試験が実施されていなければ指摘これてきた。また、三軸圧縮試験にしても、供試体の圧力やビスミの分布がかなり複雑であることや試験方法にも問題があらうことなどが指摘されている。そこで、純素の直角せん断試験機の欠点を改良するとともに間隔水圧の測定ができるような大型单纯せん断試験機を製作したので、ロット材およびアルミニボールによる单纯せん断を実施し、その結果の解明あるいは三軸圧縮試験結果との比較考察を行なった。

2. 大型単純引張試験装置について

供試体の形状は、直徑600mm、高さ400mmの円筒形で、エン断面筋は、上盤、ゲートドレンゲ、エン断リンゲおよび底盤からなっており、厚さ20mmのリング18枚でエン断を行なうものである。なお各々18枚のリング間には、すべりを良くする為にニードルベアリングと採用している。垂直荷重は電気油圧ガーボ方式により、油圧を1次圧力源として水圧に変換し、ゲイヤフライム（ゴム膜）ととかして最高30t/mm²の等分布荷重（定圧力制御）と負荷される。なお、ゲイヤフライムの体積変化を測定することにより直接に供試体の垂直変位を測定する。エン断荷重は、最高200tonの電気油圧ガーボ載荷方式で、供試体の上下部より反対方向に偏力を作用させてエン断するものである。こうにエン断載荷の制御方法としては、荷重速度制御（荷重増減制御）

表-1 試驗機往樣表

名 称	仕 様	最 大 容 量	計 划 価 値
静的荷重用	10 ton ポンプアシスト方式	40(%)	アルドン
振動荷重用	電気式4-7 ton ハイドロシリンダ式	5800 V.P.M	レバー
垂直荷重	電気油圧式サボボル径向方式	30(%)	アンダーソン
ビン断荷重	200 ton 電気油圧式サボ油戻り方式	170 ton	アルドン 自記録録
ビン断荷値	電気油圧式サボ戻り方式	100 mm	アンダーソン 自記録録
開口子木柱	ストレインゲージ914方式	30(%)	アンダーソン 自記録録
開口子空気柱	ストレインゲージ914方式	-1(%) +20(%)	アンダーソン 自記録録
体積変化	電気油圧式サボボル径向方式	10 l	アンダーソン 自記録録
排水量	メスランナ-5L2本	10 l	自 制
バッファーボン	目測10 lとカウント2本	10(%)	アルドン

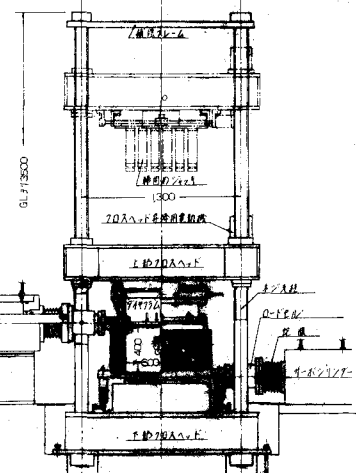


图-1 大型单耗电断试验装置

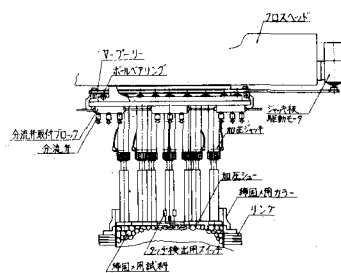


図-2 織機の装置

も可能、 $500\text{g}/\text{min} \sim 5000\text{g}/\text{min}$)と変位速度割合 ($0.5\text{mm}/\text{min} \sim 15\text{mm}/\text{min}$)の2つの方法が可能である。また、当試験機は、セン断器にゴムストリーツを取り付けることができる。色々な条件を考慮したセン断も自由に行なうことができる。なお、間隔キモ压、負圧および空気圧なども適宜測定できる。

3. 梶国め試験装置について

現在、室内試験にかけた供試体の梶国めは、JIS A 1210 で規格化されている動的梶国めの方法 (S-standard Proctor) が採用されている。しかし、この動的な梶国めの方法は、タンピングローラーや振動ローラーなどによる実際の施工を考える場合、ほとんど現地条件を表現できないことや、とくに、ロット材に顕著な現象として、試料に衝撃を与えたランマーが焼け逸れることによってエネルギーが十分伝達できないことなどの不利な点がいくつか挙げられる。そこで、現実に近い供試体の作成ができるよう、図-2 に示す全面加圧式静的梶国め装置 (10ton ジャッキ 1 台、ストローブ 150mm 、シュー圧力 $4\text{kN}/\text{cm}^2 \sim 40\text{kN}/\text{cm}^2$) を製作した。これは加圧面が 17 個の加圧シューに区切られており、各加圧シューは、同圧力を互いに関係なく独立して作動することができる。また、振動梶国め装置 (軸圧力 $4\text{ton} \sim 7\text{ton}$ 、振動数 5800VPM のコンバッター式) も同時に製作した。

4. 試験方法と結果

前述した試験装置を採用し、一貫した材料試験が実施されてきた (試験方法の違いによる比較が可能) 九州電力大平発電所油谷ダムの中筋 (チャート質砂岩) と対象ロット材として試験を実施した。

[供試体の梶国め方法とセン断方法]

間隔比をバラメーターとした動的梶国めと静的梶国めの比較試験を実施し、所定の間隔比を得る為の梶国めの方法をつきのように決定した。すなれど、供試体は 5 層に分けて梶国めることにし、各層ごとのシュー圧力および梶国めの回数を各々 12.5% 、1 回とする静的な梶国めの方法によった。また、セン断試験は表-2 に示すような間隔比とともに充填状態にあら試料とし、圧密排氣 (供試体は不飽和であらから圧縮排氣となる) 試験により、垂直圧を $0.5\text{kN}/\text{cm}^2 \sim 30.0\text{kN}/\text{cm}^2$ ($0.5, 1.0, 1.5, 2.0, 4.0, 6.0, 10.0, 20.0, 30.0\text{kN}/\text{cm}^2$) まで変化させ、セン断速度 $0.006\text{cm}/\text{min}$ ($2\text{mm}/\text{min}$) によりセン断を行なった。なお、上記の梶国めの比較試験時と下記のセン断試験時とを利用してロット材の破碎率を測定したので図-3 に示す。図中の B (溝溝で塗り潰した部分) は梶国めによる破碎量を、A はセン断による破碎量を示す。この図は、梶国めの方法の違いによる破碎率の差が、厳然と現れられ、静的梶国めの法の实用性を良く表わしている。

[セン断方法を用いた試験結果]

図-4 に示すように、セン断力の載荷方法を 3 種類設定し (A, B, C 試験と称す) セン断機構の性能のチェック試験を実施した。(垂直圧力の $2\text{kN}/\text{cm}^2$ と $6\text{kN}/\text{cm}^2$ の 2 テーブルについて) この結果によ

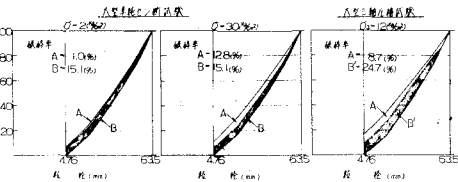


図-3 梶国め曲線の比較

表-2 試験別供試体の性状

試験方法	供試材料	最大粒径 (mm)	供試機種 (cm)	梶国め法	間隔比
大型梶国め	B-7	63.5	φ600×400	静的梶国め	0.53
セン断試験	100% (同・標準)	450	φ600×400	—	0.85
大型梶国め	B-7	63.5	φ300×700	動的梶国め	0.53
セン断試験	100% (同・標準)	4300×700	—	0.78	

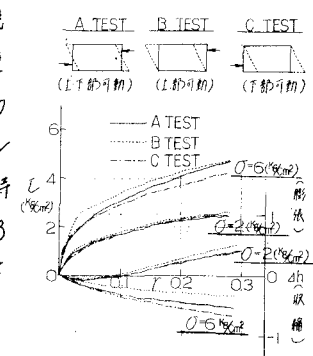


図-4 セン断方法の比較

N.I.F. $\sigma = 2 \text{ %GMP}$ の場合、 $\Gamma \sim E$ 曲線、 $\Gamma \sim \sigma$ 曲線とともにセシ断方法の差による異動は殆んど認められず。また、 $\sigma = 6 \text{ %GMP}$ の試験においてもその結果の信頗度に重要な影響を与えるような大きな差異は見出されない。すなわち、今回製作した単純セシ断試験機は、信頗度の高いセシ断が実施できることを証明したことにならう。

[ロット材の単純セシ断試験結果と試験方法の違いによる比較]

図-5は、ロット材の大型単純セシ断試験と大型三軸圧縮試験および市販のアルミニナボール（日本化学開発では球形とされる）を使用した大型単純セシ断試験から求めたモール・チーロンの破壊現象を描いたものである。この図から当然問題になる現象として、ロット材のモールの包絡線は、三軸圧縮試験結果ではほとんど直線を示すのに、単純セシ断試験の場合には二次曲線を描き、 σ が増大するにつれてこの伸び率が小さくなる、という現象が描かれる。また、単純セシ断試験のモールの包絡線の考察から始めると、この伸び率低下現象の原因として、ロット材粒子の破碎・各粒子間の接触状態の変化がより供試体の拘束条件などから考えられるが、今回は、アルミニナボールによる試験を相当量実施したので、ロット材粒子の破碎という面だけを取りあけられた。径 40 mm のアルミニナボール（圧潰強度が大きくなっている圧縮性である）を使用して単純セシ断を実施したところ、比較的垂直荷重の小さい範囲、すなわち、 $\sigma = 10 \text{ %GMP}$ では包絡線は直線上にあり、ロット材にみられるようなこの伸び率の低下はなかった。しかし、 $\sigma = 20 \text{ %GMP}$ では図-5にみられるようにこの異常が低下が認められた。これは、セシ断時の高い拘束力でアルミニナボールが多数破壊したことによるものであろうが、この現象は図-7の $\Gamma \sim E$ 曲線からも考察できるものである。すなわち、 $\sigma = 20 \text{ %GMP}$ の $\Gamma \sim E$ 曲線は、 0.12 kN 以後から急にこの増加が止り、それ以降は粒子間のすべり現象と繰返しながら低下の傾向を示しているが、これはアルミニナボールの破壊現象と良く表現していると言えられる。そこで、 $\sigma = 20 \text{ %GMP}$ の $\Gamma \sim E$ 曲線を用いて、 $\sigma = 10 \text{ %GMP}$ のものと比較して $\sigma = 20 \text{ %GMP}$

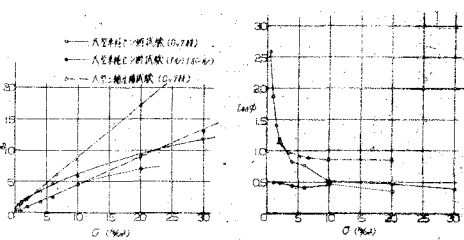


図-5 $\Gamma \sim E$, $\sigma \sim \tan \phi$

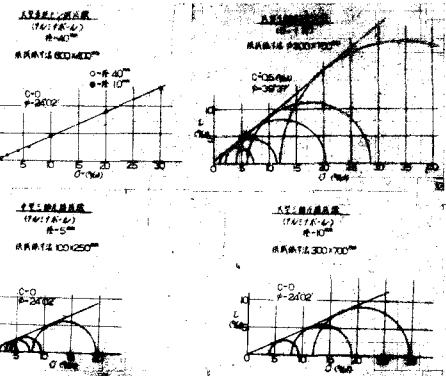


図-6 モールの包絡線

と、この伸び率低下現象の原因として、ロット材粒子の破碎・各粒子間の接触状態の変化がより供試体の拘束条件などから考えられるが、今回は、アルミニナボールによる試験を相当量実施したので、ロット材粒子の破碎という面だけを取りあけられた。径 40 mm のアルミニナボール（圧潰強度が大きくなっている圧縮性である）を使用して単純セシ断を実施したところ、比較的垂直荷重の小さい範囲、すなわち、 $\sigma = 10 \text{ %GMP}$ では包絡線は直線上にあり、ロット材にみられるようなこの伸び率の低下はなかった。しかし、 $\sigma = 20 \text{ %GMP}$ では図-5にみられるようにこの異常が低下が認められた。これは、セシ断時の高い拘束力でアルミニナボールが多数破壊したことによるものであろうが、この現象は図-7の $\Gamma \sim E$ 曲線からも考察できるものである。すなわち、 $\sigma = 20 \text{ %GMP}$ の $\Gamma \sim E$ 曲線は、 0.12 kN 以後から急にこの増加が止り、それ以降は粒子間のすべり現象と繰返しながら低下の傾向を示しているが、これはアルミニナボールの破壊現象と良く表現していると言えられる。

そこで、 $\sigma = 20 \text{ %GMP}$ の $\Gamma \sim E$ 曲線を用いて、 $\sigma = 10 \text{ %GMP}$ のものと比較して $\sigma = 20 \text{ %GMP}$

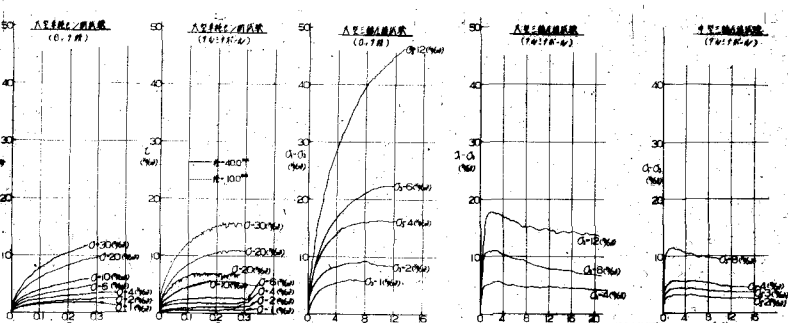


図-7 $\Gamma \sim E$, $E \sim \sigma - 0.3$

がよ $\nu/\sigma = 30\%/\text{cm}^2$ の

場合を統計してみた。

その結果は、図一

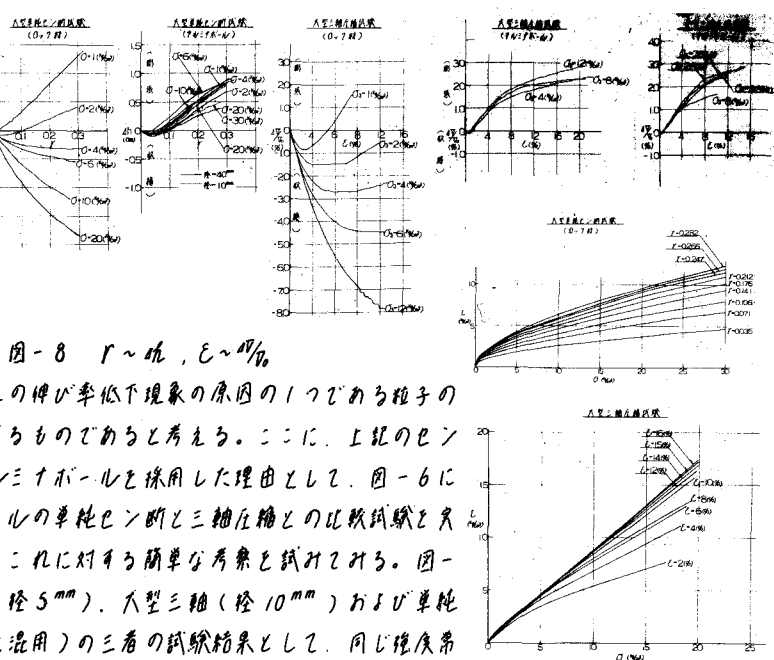
5、図一6に示すと

おり、径 40mm のアルミナボールの各給

線の延長上に径 10mm

のものとプロットす

ることができる。こ



図一8 $T \sim E, E \sim \%$

の実験結果は、前述のとの伸び率低下現象の原因の一つである粒子の

破碎効果と有力に証明するものであらうと考える。ここに、上記のセシ

断試験で径 10mm のアルミナボールを採用した理由として、図一6に

示すようなアルミナボールの単純セシ断と三軸圧縮との比較試験を実

施した結果があらうので、これに対する簡単な考察を試してみる。図一

6によれば、中型三軸（径 5mm ）、大型三軸（径 10mm ）および単純

セシ断（径 20mm と 10mm を混用）の三者の試験結果として、同じ強度常数、すなれど $C = 0$ 、 $\phi = 24^\circ$ が求められた。このことは、アルミナ

ボールのような球形でしかも無圧縮・無破壊の粒状体では、粒径の大きさや初期間隔を基準（粒径によつて当然変化する）がほとんどセシ断常数に影響を与える要因となるないはいかずか、セシ断時の拘束条件（セシ断試験機の差）についても同様のことと言えらることを示しておこう。ちなみに、図一8のアルミナボールの単純セシ断の $T \sim E$ 曲線と三軸圧縮の $E \sim \%$ 曲線の類似性（拘束圧力による変化を殆んどない）からも、上述のセシ断強度特性は十分説明できらうであろう。ここに

、今回の試験供試体は同一粒径のアルミナボール集合体であることを付言しておきく。ついで、D-7材の三軸圧縮試験によるモールの各給線は直線であり、単純セシ断の場合のようなこの伸び率低下現象は認められなかつたという問題がある。これに対しては、三軸圧縮試験は圧縮非排水の条件によるものであるから、初期圧縮による密度効果やセシ断時の体積圧縮率が大きい（図一7の $T \sim E$ 曲線と図一8の $E \sim \%$ 曲線がこれとよく説明している）、側圧が十分大きくなかった（ $\phi_3 = 12\%/\text{cm}^2$ 以下）などの理由が考えられるが、今後の研究課題の一つとして発展させてゆきたい。図一9は、セシ断時の各ヒズミとパラメーターとした $\sim E$ 図である。この図によれば、単純セシ断では各ヒズミごとに $\sim E$ 曲線が均等に並び破壊によつて $\sim E$ が見当らないが、三軸圧縮ではヒズミが 10% 以上になるとほどんど近似した破壊線となつている。これは、筋局セシ断機構の問題につながり、供試体内筋の応力状態の解明などが要求されるので、これも研究課題の一つとして残しておきたい。

5. 終り

今回の報告では、単純セシ断によるロット材のこの伸び率低下現象は、その要因の一つとして粒子の破碎効果があらうことと、アルミナボールのセシ断強度特性などをもとにしながら解明してみた。さうに、粒状体に関する実験と重ねて残された諸問題の解決を討りたいと考えている。